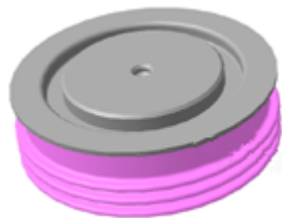




## ДИОД НИЗКОЧАСТОТНЫЙ

## Д143-800

<ul style="list-style-type: none"><li>◆ <math>V_{RRM} = \underline{1600 - 2800 \text{ В}}</math></li><li>◆ <math>I_{F(AV)} = \underline{1340 \text{ А}}</math> (<math>T_C = 100 \text{ °C}</math>)</li><li>◆ <math>I_{F(AV)} = \underline{1510 \text{ А}}</math> (<math>T_C = 85 \text{ °C}</math>)</li><li>◆ <math>I_{FSM} = \underline{18 \text{ кА}}</math> (<math>T_j = 175 \text{ °C}</math>)</li></ul>	
<ul style="list-style-type: none"><li>◆ минимальные потери</li><li>◆ пригодны для последовательного и параллельного соединения (малый разброс <math>Q_{rr}</math>, <math>V_{FM}</math>, <math>I_{RRM}</math>)</li></ul>	

## МАКСИМАЛЬНО ДОПУСТИМЫЕ ЗНАЧЕНИЯ ПАРАМЕТРОВ

Наименование параметра	Условное обозначение	Значения параметров			Единица измерения
		мин.	тип.	макс.	
Повторяющееся импульсное обратное напряжение, $T_j = -60 \text{ °C} \dots +175 \text{ °C}$	$V_{RRM}$	1600	-	2800	В
Неповторяющееся импульсное обратное напряжение, $T_j = -60 \text{ °C} \dots +175 \text{ °C}$	$V_{RSM}$	1700	-	2900	
Повторяющийся импульсный обратный ток, $T_j = 175 \text{ °C}$ , $V_R = V_{RRM}$	$I_{RRM}$	-	-	50	мА
Максимально допустимый средний прямой ток, $f = 50 \text{ Гц}$ , $T_C = 100 \text{ °C}$ $T_C = 85 \text{ °C}$	$I_{F(AV)}$	-	-	1340 1510	А
Действующий прямой ток	$I_{FRMS}$	-	-	2370	
Ударный прямой ток, $V_R = 0$ , $T_j = 175 \text{ °C}$ , $t_p = 10 \text{ мс}$	$I_{FSM}$	-	-	18	кА
Защитный показатель	$I^2t$	-	-	1620	кА <sup>2</sup> с
Температура перехода	$T_j$	- 60	-	+ 175	°C
Температура хранения	$T_{stg}$	- 60	-	+ 50	

**Д143-800**

<b>ЭЛЕКТРИЧЕСКИЕ ХАРАКТЕРИСТИКИ</b>					
Импульсное прямое напряжение, $I_F = 2512 \text{ A}$ , $T_j = 25 \text{ }^\circ\text{C}$	$V_{FM}$	-	-	1,65	В
Пороговое напряжение, $T_j = 175 \text{ }^\circ\text{C}$ , $I_F = 1200 - 3800 \text{ A}$	$V_{(TO)}$	-	-	1,00	
Динамическое сопротивление, $T_j = 175 \text{ }^\circ\text{C}$ , $I_F = 1200 - 3800 \text{ A}$	$r_T$	-	-	0,32	МОм
Заряд обратного восстановления, $di_F/dt = -5 \text{ A/мкс}$ , $T_j = 175 \text{ }^\circ\text{C}$ , $I_F = 800 \text{ A}$ , $V_R \geq 100 \text{ В}$	$Q_{rr}$	-	-	2000	мкКл
<b>ТЕПЛОВЫЕ ПАРАМЕТРЫ</b>					
Тепловое сопротивление переход - корпус, двустороннее охлаждение охлаждение со стороны анода охлаждение со стороны катода	$R_{thjc}$	-	-	0,027 0,054 0,054	$^\circ\text{C/Вт}$
Тепловое сопротивление корпус - охладитель, двустороннее охлаждение одностороннее охлаждение	$R_{thch}$	-	-	0,01 0,02	
<b>МЕХАНИЧЕСКИЕ ПАРАМЕТРЫ</b>					
Масса	w	-	0,24	-	кг
Усилие сжатия	F	13,5	-	16,5	кН
Наибольшее допустимое постоянное ускорение	a	-	-	100	$\text{м/с}^2$
<b>ПРОЧИЕ ПАРАМЕТРЫ</b>					
Климатическое исполнение по ГОСТ 15150	УХЛ2, Т2				

## Д143-800

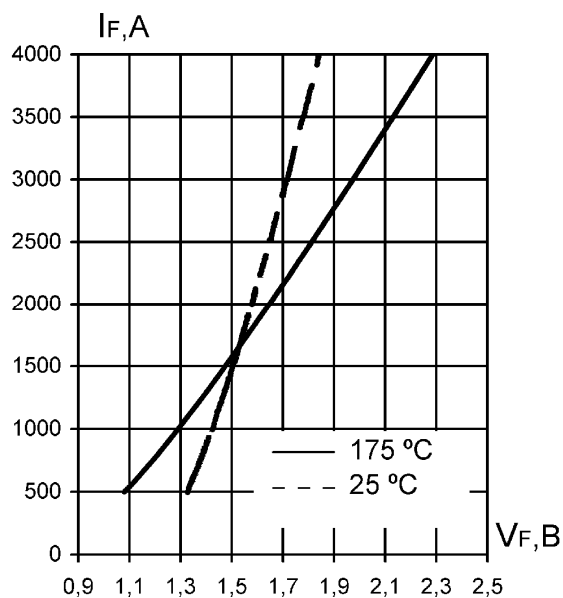


Рис. 1. Предельные прямые вольт-амперные характеристики

Уравнение прямой вольт-амперной характеристики

$$V_F = A + B \cdot I_F + C \cdot \ln(I_F + 1) + D \cdot \sqrt{I_F}$$

Справедливо для  $I_F = 500 - 4000$  А

	$T_j = 175$ °C	$T_j = 25$ °C
A	0.506	1.04
B	0.0002564	0.00008432
C	0.055	0.024
D	0.004694	0.004198

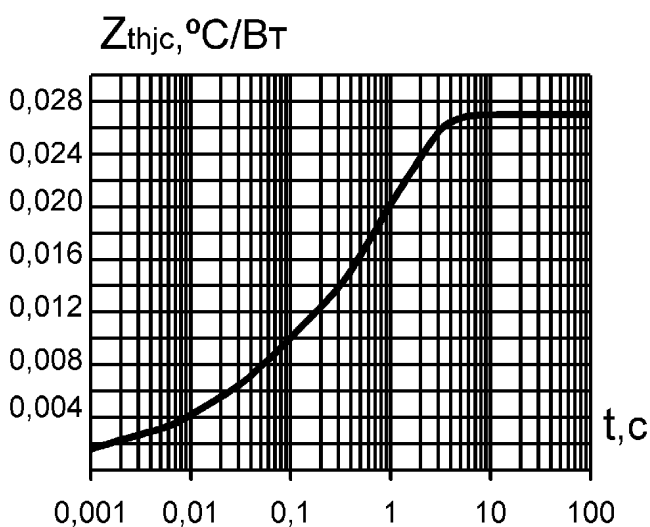


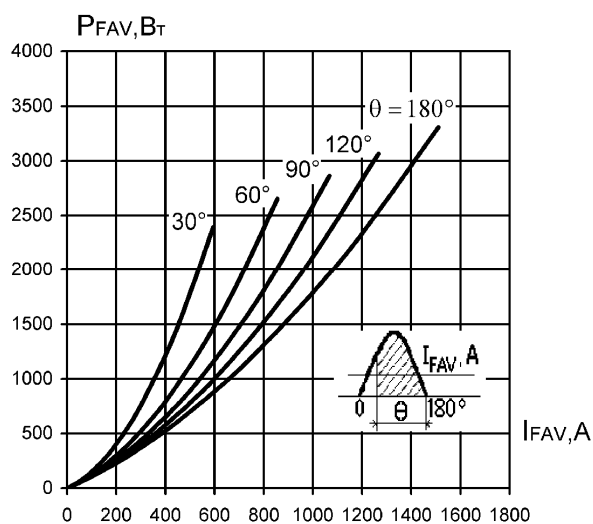
Рис. 2. Переходное тепловое сопротивление переход-корпус ( постоянный ток )

Аналитическая зависимость переходного теплового сопротивления переход-корпус

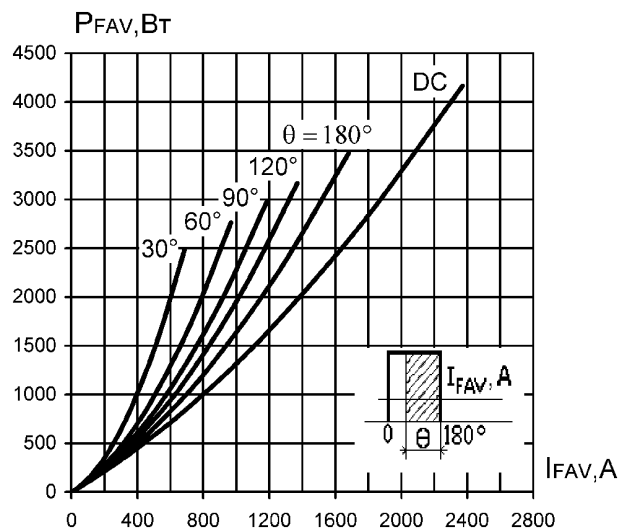
$$Z_{thjc} = \sum_{i=1}^n Ri(1 - e^{-t/\tau_i})$$

i	1	2	3	4
$Ri, °C/W$	0,00208	0,00536	0,00424	0,01532
$\tau_i, c$	0,0009	0,0259	0,2276	1,2175

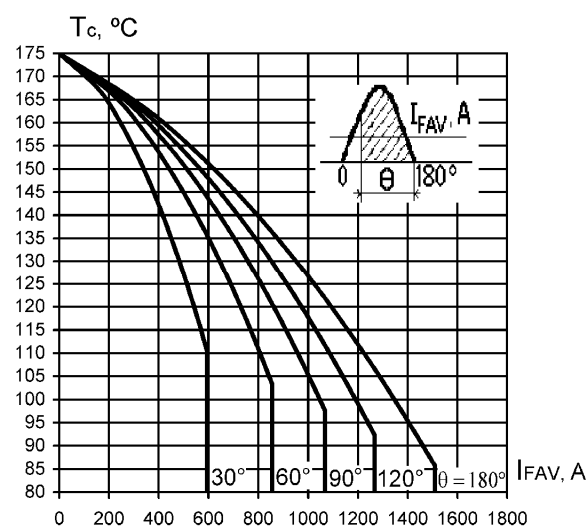
## Д143-800



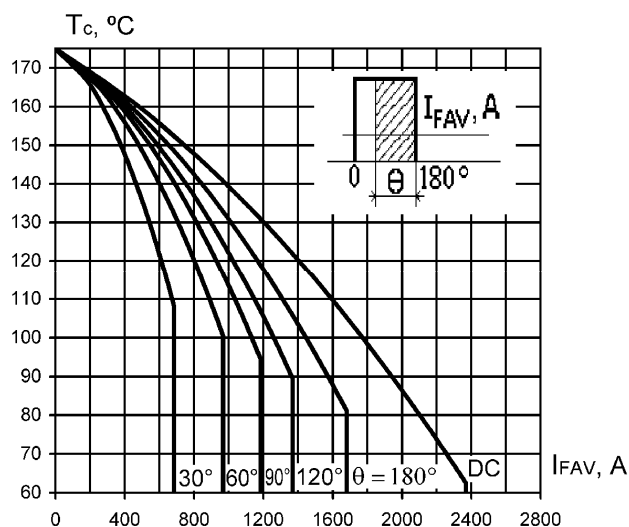
**Рис. 3. Средняя мощность прямых потерь**  
 (однополупериодный синусоидальный импульс)



**Рис. 4. Средняя мощность прямых потерь**  
 (прямоугольный импульс)



**Рис. 5. Максимально допустимая температура**  
 корпуса при двустороннем охлаждении  
 (однополупериодный синусоидальный импульс)



**Рис. 6. Максимально допустимая температура**  
 корпуса при двустороннем охлаждении  
 (прямоугольный импульс)

## Д143-800

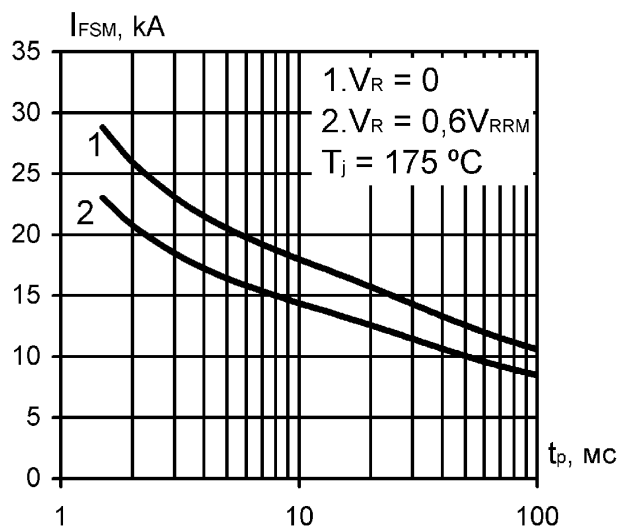


Рис. 7. Зависимость допустимой амплитуды ударного тока от длительности импульса (полусинусоида)

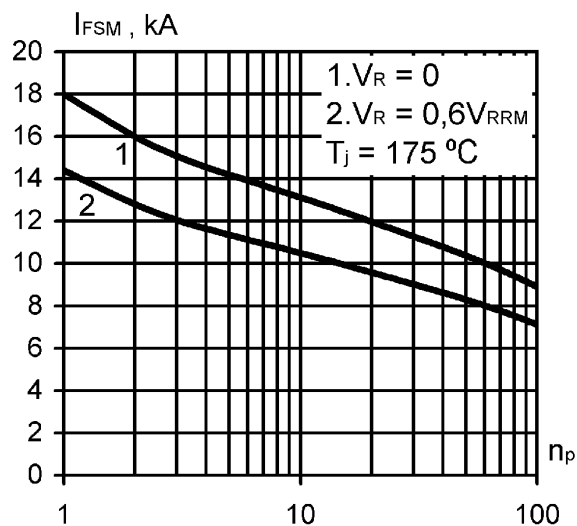


Рис. 8. Зависимость допустимой амплитуды ударного тока от числа импульсов синусоидальной формы (10 мс, 50 Гц)

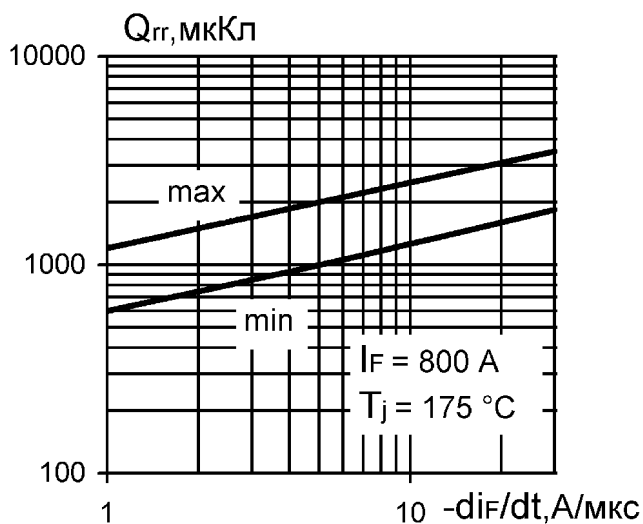


Рис. 9. Зависимость заряда обратного восстановления от скорости спада тока

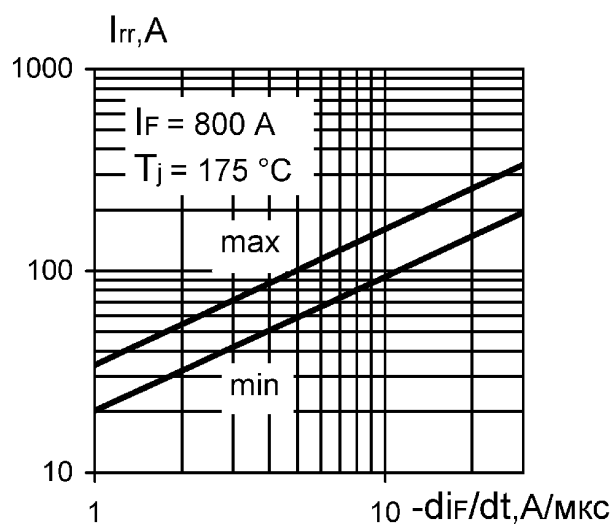


Рис. 10. Зависимость тока обратного восстановления от скорости спада тока

## Д143-800

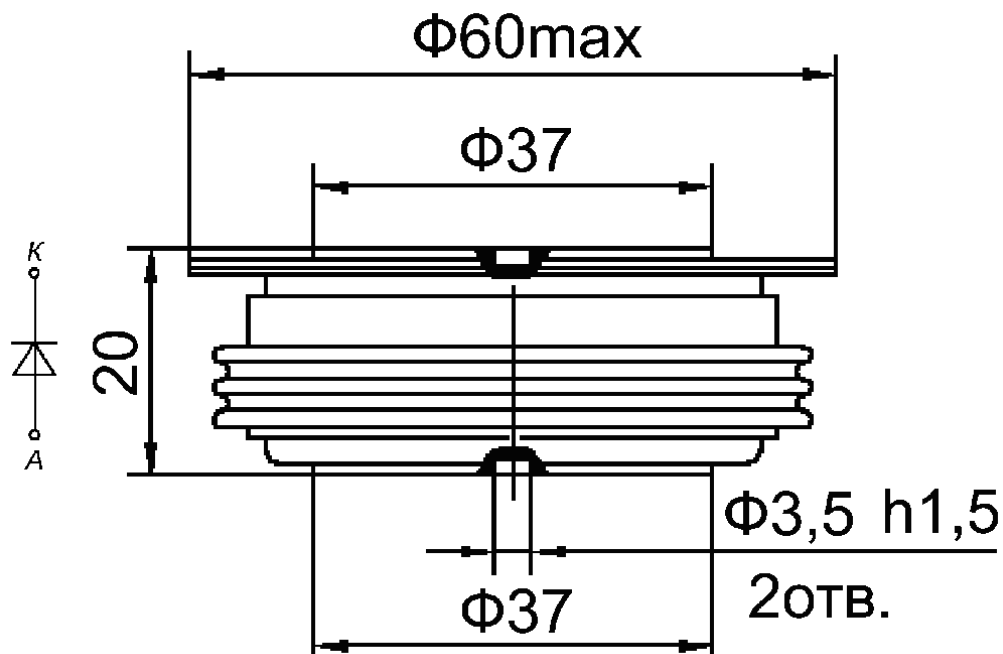


Рис. 11. Габаритные и установочные размеры



Россия, Мордовия, Саранск,  
430001, ул. Пролетарская, 126

Тел. +7 (8342) 47-18-31, 47-48-15, 47-55-22 (сбыт)

29-68-36, 29-69-49 (техническая поддержка)

Факс: +7 (8342) 47-16-64 (сбыт), 48-07-33 (техническая поддержка)

E-mail: support-nicpp@saransk-com.ru, martin@moris.ru (техническая поддержка)

sales\_spp@elvpr.ru, spp@elvpr.ru (сбыт)

Internet: <http://www.elvpr.ru/>, <http://www.moris.ru/~martin/>